

УДК 539.3:534.1

НЕСТАЦИОНАРНЫЕ КОЛЕБАНИЯ В АКУСТИЧЕСКОЙ СРЕДЕ  
УПРУГОЙ ЭЛЛИПТИЧЕСКОЙ ОБОЛОЧКИ ПОД ДЕЙСТВИЕМ  
МГНОВЕННО ПРИЛОЖЕННОГО РАВНОМЕРНОГО ДАВЛЕНИЯ

КАРПЕНКО В. В., ПАНКРАТОВ А. С., САЙГИНА В. И.

Нестационарному взаимодействию деформируемых конструкций с акустической средой посвящен ряд работ [4–5]. Однако полученные точные (в рамках постановки) решения задач аэрогидроупругости относятся к геометрически идеализированным конструкциям (полоса, круговая цилиндрическая и сферическая оболочки).

В публикуемой статье исследуется влияние отношения полуосей на характер колебаний конструктивно-ортотропной эллиптической цилиндрической оболочки, нагруженной внешним равномерным давлением. Приводятся результаты численных расчетов.

1. Рассмотрим действие мгновенно приложенного внешнего давления  $p_0(\tau)$  на тонкую упругую конструктивно-ортотропную оболочку, срединная поверхность которой образует эллиптический цилиндр с полуосами  $a$  и  $b$  ( $a \geq b$ ). Характер нагрузки и геометрия конструкции позволяют рассматривать задачу о движении оболочки как плоскую, поэтому, воспользовавшись технической теорией тонких оболочек [6], запишем уравнения движения эллиптического кольца в следующем виде:

$$\begin{aligned} w'' + \frac{c_2}{kc_3} p_2 + \frac{w}{c_1 l_1^6(\xi_0, \eta)} + \frac{c_4}{c_1 l_1(\xi_0, \eta)} \frac{\partial}{\partial \eta} \frac{1}{l_1(\xi_0, \eta)} \frac{\partial}{\partial \eta} \frac{1}{l_1(\xi_0, \eta)} \times \\ \times \frac{\partial}{\partial \eta} \frac{1}{l_1(\xi_0, \eta)} \frac{\partial}{\partial \eta} w - \frac{c_4}{c_1 l_1(\xi_0, \eta)} \frac{\partial}{\partial \eta} \frac{1}{l_1(\xi_0, \eta)} \frac{\partial}{\partial \eta} \frac{1}{l_1(\xi_0, \eta)} \frac{\partial}{\partial \eta} \times \\ \times \frac{v}{l_1^3(\xi_0, \eta)} + \frac{1}{c_1 l_1^4(\xi_0, \eta)} \frac{\partial}{\partial \eta} v = - \frac{c_2}{kc_3} p_0(\tau) \\ v'' - \frac{1}{c_1 l_1(\xi_0, \eta)} \frac{\partial}{\partial \eta} \frac{1}{l_1(\xi_0, \eta)} \frac{\partial}{\partial \eta} v - \frac{c_4}{c_1 l_1^4(\xi_0, \eta)} \frac{\partial}{\partial \eta} \frac{1}{l_1(\xi_0, \eta)} \times \\ \times \frac{\partial}{\partial \eta} \frac{v}{l_1^3(\xi_0, \eta)} + \frac{c_4}{c_1 l_1^4(\xi_0, \eta)} \frac{\partial}{\partial \eta} \frac{1}{l_1(\xi_0, \eta)} \frac{\partial}{\partial \eta} \frac{1}{l_1(\xi_0, \eta)} \frac{\partial}{\partial \eta} w - \\ - \frac{1}{c_1 l_1(\xi_0, \eta)} \frac{\partial}{\partial \eta} \frac{w}{l_1^3(\xi_0, \eta)} = 0 \quad (1.1) \\ w|_{\tau=0} = v|_{\tau=0} = w'|_{\tau=0} = v'|_{\tau=0} = 0 \end{aligned}$$

В уравнениях системы (1.1)  $v$ ,  $w$  и  $v''$ ,  $w''$  – соответственно проекции перемещений и ускорений срединной поверхности оболочки в направлениях по касательной и нормали к ней,  $p_2$  – давление излучения на поверхности оболочки, возникшее от ее деформации,  $l_1(\xi_0, \eta)$  – значение коэффициента Ламе  $l_1(\xi, \eta) = (a/b(1-b^2/a^2)(\sin^2 \xi - \cos^2 \eta))^{1/2}$  при  $\xi = \xi_0$ , где  $\xi_0 = 0.5 \ln((1+b/a)/(1-b/a))$ .

Давление излучения  $p_2(\xi, \eta, \tau)$  определяется в результате решения краевой задачи для волнового уравнения в эллиптических координатах с нулевыми начальными условиями

$$\frac{\partial^2}{\partial \xi^2} p_2(\xi, \eta, \tau) + \frac{\partial^2}{\partial \eta^2} p_2(\xi, \eta, \tau) = l_1^2(\xi, \eta) \frac{\partial^2}{\partial \tau^2} p_2(\xi, \eta, \tau)$$

$$\frac{\partial}{\partial \xi} p_2(\xi, \eta, \tau)|_{\xi=\xi_0} = - c_3 l_1(\xi_0, \eta) w''(\eta, \tau), \quad p_2(\xi, \eta, \tau)|_{\xi \rightarrow \infty} \rightarrow 0 \quad (1.2)$$

В уравнениях движения кольца (1.1) и жидкости (1.2) параметры  $\varepsilon$ ,  $c_i$ ,  $K$ ,  $k$ , соответственно, равны  $\varepsilon = \frac{1}{12} \Delta^2 / R^2$ ,  $c_1 = \rho a_0^2 (1 - \mu^2) / E$ ,  $c_2 = R \rho_0 / \Delta \rho$ ,  $c_3 = \rho_0 a_0^2 / P_m$ ,  $c_4 = \varepsilon K k$ ,  $K = 1 + 12 E_0 I (1 - \mu^2) / E l \delta^3$ ,  $k = 0,5\pi (b/a)^{\frac{1}{2}} E(U)$ ,  $U = (1 - b^2/a^2)^{\frac{1}{2}}$ , где  $\rho_0$ ,  $a_0$  — плотность жидкости и скорость звука в ней,  $P_m$  — амплитуда давления в волне обжатия,  $\Delta$  — толщина кругового кольца радиуса  $R = (ab)^{\frac{1}{2}}$ , которое эквивалентно по массе эллиптическому толщиной  $\delta$ ,  $\rho$  — плотность материала колец,  $\mu$ ,  $E$ ,  $E_0$  — коэффициент Пуассона и модули Юнга материалов колец и шлангоутов,  $I$  — момент инерции сечения шлангоута с присоединенным пояском,  $l$  — расстояние между шлангоутами,  $E(U)$  — эллиптический интеграл второго рода.

Уравнения (1.1) и (1.2) записаны в безразмерных переменных  $v$ ,  $w$ ,  $\tau$ ,  $v''$ ,  $w''$ ,  $p$ , которые связаны с размерными  $V$ ,  $W$ ,  $t$ ,  $V''$ ,  $W''$ ,  $P$  соотношениями  $v = V/R$ ,  $w = W/R$ ,  $\tau = a_0 t/R$ ,  $v'' = RV''/a_0^2$ ,  $w'' = RW''/a_0^2$ ,  $p = P/P_m$ .

2. Систему уравнений (1.1) необходимо решать совместно с краевой задачей (1.2). В [7] было показано, что давление излучения на поверхности эллиптической оболочки определяется рядом

$$p_2(\xi_0, \eta, \tau) = - \sum_{k=0}^{\infty} (g_k^c(\xi_0, \tau) \cos k\eta + g_{k+1}^s(\xi_0, \tau) \sin(k+1)\eta) \quad (2.1)$$

Величины  $g_k^{c,s}(\xi_0, \tau)$  выражаются интегралами свертки от коэффициентов Фурье  $w_v^{c,s}$  функций  $\zeta_{v,k}^{c,s}(\xi_0, \tau)$ , характеризующих реакцию жидкости на деформацию оболочки

$$\begin{aligned} g_{2k}^c(\xi_0, \tau) &= \int_0^\tau \left[ 0,5 w_0^{c,c}(\tau_1) \zeta_{0,2k}^c(\xi_0, \tau - \tau_1) + \sum_{v=1}^{\infty} w_{2v}^{c,c}(\tau_1) \zeta_{2v, 2k}^c(\xi_0, \tau - \tau_1) \right] d\tau_1 \\ g_{2k+1}^{c,s}(\xi_0, \tau) &= \int_0^\tau \sum_{v=0}^{\infty} w_{2v+1}^{c,s}(\tau_1) \zeta_{2v+1, 2k+1}^{c,s}(\xi_0, \tau - \tau_1) d\tau_1 \\ g_{2k+2}^s(\xi_0, \tau) &= \int_0^\tau \sum_{v=0}^{\infty} w_{2v+2}^{s,s}(\tau_1) \zeta_{2v+2, 2k+2}^s(\xi_0, \tau - \tau_1) d\tau_1 \end{aligned}$$

Передаточные функции  $\zeta_{k,m}^{c,s}(\xi_0, \tau)$  определяются в результате суммирования рядов

$$\begin{aligned} \zeta_{2v, 2k}^c(\xi_0, \tau) &= \sum_{m=0}^{\infty} \lambda_{2m, 2v}^c \psi_{2k, 2m}^c(\xi_0, \tau), \quad \zeta_{2v+1, 2k+1}^{c,s}(\xi_0, \tau) = \\ &= \sum_{m=0}^{\infty} \lambda_{2m+1, 2v+1}^{c,s} \psi_{2k+1, 2m+1}^{c,s}(\xi_0, \tau) \\ \zeta_{2v+2, 2k+2}^s(\xi_0, \tau) &= \sum_{m=0}^{\infty} \lambda_{2m+2, 2v+2}^s \psi_{2k+2, 2m+2}^s(\xi_0, \tau) \\ \lambda_{m, v}^c &= 4 \int_0^{\pi/2} l_1(\xi_0, \theta) \cos m\theta \cos v\theta d\theta, \quad \lambda_{m+1, v+1}^s = \\ &= 4 \int_0^{\pi/2} l_1(\xi_0, \theta) \sin(m+1)\theta \sin(v+1)\theta d\theta \end{aligned}$$

а функции  $\psi_{k,m}^{c,s}(\xi_0, \tau)$  выражаются интегралами ( $q = \frac{1}{4} a \omega^2 (1 - b^2/a^2)/b$ )

$$\psi_{k, m}^c(\xi_0, \tau) = \frac{1}{2\pi^2} \int_{-\infty}^{\infty} e^{i\omega\tau} \sum_n A_k^{(n)}(q) A_m^{(n)}(q) \frac{M e_n^{(2)}(\xi_0, q)}{M e_n^{(2)'}(\xi_0, q)} d\omega$$

$$\psi_{k+1, m+1}^s(\xi_0, \tau) = \frac{1}{2\pi^2} \int_{-\infty}^{\infty} e^{i\omega\tau} \sum_n B_{k+1}^{(n+1)}(q) B_{m+1}^{(n+1)}(q) \frac{N e_{n+1}^{(2)}(\xi_0, q)}{N e_{n+1}^{(2)'}(\xi_0, q)} d\omega$$

В двух последних формулах  $A_k^{(n)}(q)$ ,  $B_{k+1}^{(n+1)}(q)$  и  $\text{Me}_n^{(2)}(\xi_0, q)$ ,  $\text{Ne}_{n+1}^{(2)}(\xi_0, q)$  — коэффициенты периодических и соответствующих им модифицированных функций Матье [8]; числа  $k$ ,  $m$  имеют одинаковую четность, а суммирование по  $n$  осуществляется лишь по положительным числам такой же четности, что и  $k$ ,  $m$ .

Принимая во внимание структуру решения краевой задачи (1.2), будем искать решение системы (1.1) с помощью метода Бубнова — Галеркина. Для этого представим функции  $w(\eta, \tau)$  и  $v(\eta, \tau)$ , удовлетворяющие системе (1.1), в виде тригонометрических рядов Фурье

$$w(\eta, \tau) = 0,5w_0^c(\tau) + \sum_{n=1}^N (w_n^c(\tau) \cos n\eta + w_n^s(\tau) \sin n\eta) \quad (2.2)$$

$$v(\eta, \tau) = 0,5v_0^c(\tau) + \sum_{n=1}^N (v_n^c(\tau) \cos n\eta + v_n^s(\tau) \sin n\eta)$$

Подставим равенства (2.2) в систему уравнений (1.1), затем каждое из уравнений системы последовательно умножим на элементы полной на интервале  $(0; 2\pi)$  системы функций  $\{\cos m\eta; \sin m\eta\}$ , полученные выражения проинтегрируем по всему промежутку  $[0; 2\pi]$  и, наконец, воспользуемся равенством

$$x(\tau) = \int_0^\tau (\tau - \tau_1) x''(\tau_1) d\tau_1$$

справедливым для любой дважды дифференцируемой функции, удовлетворяющей условию  $x(0) = x'(0) = 0$ . В результате после громоздких преобразований для коэффициентов Фурье  $w_n^{c,s}(\tau)$ ,  $v_n^{c,s}(\tau)$  получим систему интегральных уравнений Вольтерра второго рода. Анализ матрицы коэффициентов этой системы показывает, что ее можно рассматривать как совокупность четырех систем относительно следующих пар функций:

$$w_{2m}^{cc}(\tau), v_{2m}^{ss}(\tau); w_{2m+1}^{cc}(\tau), v_{2m+1}^{ss}(\tau); w_{2m+1}^{cs}(\tau), v_{2m+1}^{sc}(\tau); w_{2m}^{sc}(\tau), v_{2m}^{cs}(\tau),$$

причем во всех системах уравнений, кроме первой, правые части равны нулю. Отсюда следует, что решения их также равны нулю:  $w_{2m+1}^{cc}(\tau) = v_{2m+1}^{ss,c}(\tau) = w_{2m}^{ss}(\tau) = v_{2m}^{sc}(\tau) = 0$ .

Значение функции  $w_{2m}^{cc}(\tau)$ ,  $v_{2m}^{ss}(\tau)$  определим из решения системы уравнений ( $\delta_{n,m}$  — символ Кронекера):

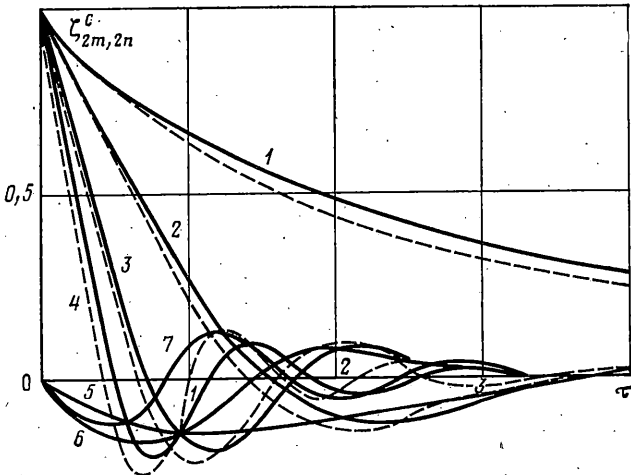
$$\begin{aligned} w_{2m}^{cc}(\tau) &+ \int_0^\tau w_0^{cc}(\tau_1) W_{0,2m}^{cc}(\tau - \tau_1) d\tau_1 + \sum_{n=1}^N \left( \int_0^\tau w_{2n}^{cc}(\tau_1) W_{2n,2m}^{cc}(\tau - \tau_1) d\tau_1 + \right. \\ &\quad \left. + \int_0^\tau v_{2n}^{ss}(\tau_1) V_{2n,2m}^{ss,c}(\tau - \tau_1) d\tau_1 \right) = -\frac{2\delta_{0,2m}c_2}{kc_3} p_0(\tau) \quad (2.3) \\ v_{2m}^{ss}(\tau) &+ \int_0^\tau w_0^{ss}(\tau_1) W_{0,2m}^{ss,s}(\tau - \tau_1) d\tau_1 + \sum_{n=1}^N \left( w_{2n}^{cc}(\tau_1) W_{2n,2m}^{cc,s}(\tau - \tau_1) d\tau_1 + \right. \\ &\quad \left. + \int_0^\tau v_{2n}^{ss}(\tau_1) V_{2n,2m}^{ss,s}(\tau - \tau_1) d\tau_1 \right) = 0 \quad (m = 0, 1, 2, \dots, N) \\ W_{2n,2m}^{cc}(\tau) &= \varepsilon_{2n}\tau Q_{2n,2m}^{cc} - \frac{\varepsilon_{2n}c_2}{\varepsilon_{2m}k} \xi_{2m,2n}(\xi_0, \tau), \quad W_{2n,2m}^{ss,s}(\tau) = \varepsilon_{2n}\tau T_{2n,2m}^{ss,s} \end{aligned}$$

$$\begin{aligned}
V_{2n,2m}^{s,c}(\tau) &= \tau R_{2n,2m}, & V_{2n,2m}^{s,s}(\tau) &= \tau S_{2n,2m}, & \varepsilon_n &= 0,5(2-\delta_{0,n}) \\
Q_{2n,2m}^{c,c} &= \frac{4}{\pi} \sum_{v=0}^4 (-1)^v (2n)^v \int_0^{\pi/2} a_{1v}(\eta) \cos\left(2n\eta - \frac{\pi v}{2}\right) \cos 2m\eta d\eta & (2.4) \\
T_{2n,2m}^{c,s} &= \frac{4}{\pi} \sum_{v=0}^4 (-1)^v (2n)^v \int_0^{\pi/2} b_{2v}(\eta) \cos\left(2n\eta - \frac{\pi v}{2}\right) \sin 2m\eta d\eta \\
R_{2n,2m}^{s,c} &= \frac{4}{\pi} \sum_{v=0}^4 (-1)^v (2n)^v \int_0^{\pi/2} b_{1v}(\eta) \sin\left(2n\eta - \frac{\pi v}{2}\right) \cos 2m\eta d\eta \\
S_{2n,2m}^{s,s} &= \frac{4}{\pi} \sum_{v=0}^4 (-1)^v (2n)^v \int_0^{\pi/2} a_{1v}(\eta) \sin\left(2n\eta - \frac{\pi v}{2}\right) \sin 2m\eta d\eta \\
a_{10} &= \frac{1}{c_1 l_1^6}, \quad a_{11} = \frac{c_4 h^2}{c_1} \left( \frac{2 \sin 2\eta}{l_1^6} + \frac{13h^2 \sin 4\eta}{4l_1^8} - \frac{7h^4 \sin^3 2\eta}{2l_1^{10}} \right) \\
a_{12} &= \frac{c_4 h^2}{c_1} \left( \frac{19h^2 \sin^2 2\eta}{4l_1^8} - \frac{4 \cos 2\eta}{l_1^6} \right), \quad a_{13} = -\frac{3c_4 \sin 2\eta}{c_1 l_1^6} \\
a_{14} &= \frac{c_4}{c_1 l_1^4}, \quad a_{20} = \frac{c_4 h^2}{c_1} \left( \frac{3 \cos 2\eta}{l_1^{10}} - \frac{9h^2 \sin^2 2\eta}{2l_1^{12}} \right) & (2.5) \\
a_{21} &= \frac{c_4 h^2}{c_1} \frac{\sin 2\eta}{2l_1^4} \left( 1 + \frac{7}{l_1^6} \right), \quad a_{22} = -\frac{c_4}{c_1 l_1^8} - \frac{1}{c_1 l_1^2}, \quad a_{23} = 0 \\
b_{10} &= -\frac{c_4 h^2}{c_1} \left( \frac{6 \sin 2\eta}{l_1^8} + \frac{57h^2 \sin 4\eta}{4l_1^{10}} - \frac{81h^4 \sin^3 2\eta}{4l_1^{12}} \right) \\
b_{11} &= -\frac{c_4 h^2}{c_1} \left( \frac{67h^2 \sin^2 2\eta}{l_1^8} - \frac{10 \cos 2\eta}{l_1^8} \right) + \frac{1}{c_1 l_1^4} \\
b_{12} &= \frac{6c_4 h^2 \sin 2\eta}{c_1 l_1^8}, \quad b_{13} = -\frac{c_4}{c_1 l_1^6}, \quad b_{14} = 0 \\
b_{20} &= \frac{3h^2 \sin^2 \eta}{2c_1 l_1^6}, \quad b_{21} = -\frac{1}{c_1 l_1^6} + \frac{c_4 h^2}{c_1} \left( \frac{h^2 \sin^2 2\eta}{l_1^{10}} - \frac{\cos 2\eta}{l_1^8} \right) \\
b_{22} &= -\frac{3c_4 h^2 \sin 2\eta}{2c_1 l_1^8}, \quad b_{23} = \frac{c_4}{c_1 l_1^6}, \quad h^2 = \frac{a}{b} \left( 1 - \frac{b^2}{a^2} \right), \quad l_1 = l_1(\xi_0, \eta)
\end{aligned}$$

3. Рассмотрим преобразование системы (2.3) при  $b/a \rightarrow 1$ , что соответствует вырождению эллиптического кольца в круговое. Было показано [7], что при  $b/a \rightarrow 1$  функции  $\xi_{k,m}^{c,s}(\xi_0, \tau)$  переходят в функции  $\delta_{k,m} \psi_k(\tau)$ , характеризующие реакцию жидкости на движение кругового кольца. Из равенств (2.4) и (2.5) следует, что при  $b/a \rightarrow 1$ :

$$\begin{aligned}
Q_{0,0}^{c,c} &\rightarrow \frac{2}{c_1}, & Q_{2n,2m}^{c,c} &\rightarrow \frac{1 + \varepsilon K (2n)^4}{c_1} \delta_{2n,2m} \\
R_{2n,2m}^{s,c} &= T_{2n,2m}^{c,s} = \frac{2n (1 + \varepsilon K (2n)^2)}{c_1} \delta_{2n,2m}, & S_{2n,2m}^{s,s} &= \frac{(2n)^2 (1 + \varepsilon K)}{c_1} \delta_{2n,2m}
\end{aligned}$$

Поэтому при  $b/a \rightarrow 1$  система (2.3) распадается на последовательность  $N+1$  пар уравнений с двумя неизвестными  $w_{2m}^{s,c}(\tau)$  и  $v_{2m}^{s,s}(\tau)$  соответственно. Так как правые части этих систем при  $m \geq 1$  равны нулю, то все эти системы имеют лишь нулевое решение, т. е.  $w_{2m}^{s,c}(\tau) = v_{2m}^{s,s}(\tau) = 0$  при  $m \geq 1$ .



Фиг. 1

Если же  $m=0$ , то из системы уравнений (2.3) сразу находим  $v_0^{ss}(\tau)=0$ , а для функции  $w_0^{sc}(\tau)$  получаем хорошо известное уравнение [2, 5]:

$$w_0^{sc}(\tau) + \int_0^\tau w_0^{sc}(\tau_1) \left( \frac{\tau - \tau_1}{c_1} - c_2 \psi_0(\tau - \tau_1) \right) d\tau_1 = -\frac{2c_2}{c_3} p_0(\tau)$$

$$\psi_0(\tau) = \frac{1}{2\pi} \int_{-\infty}^{\infty} e^{i\omega\tau} \frac{H_0^{(2)}(\omega)}{\omega H_0^{(2)'}(\omega)} d\omega \quad (3.1)$$

характеризующее движение тонкого упругого кругового кольца под действием мгновенно приложенного равномерного давления  $p_0(\tau)$ .

4. Так как ядра и правая часть системы (2.3) являются непрерывными при  $\tau \geq 0$  функциями, то эта система имеет единственное непрерывное решение, которое численно проще всего найти методом квадратурных формул [9] точно так же, как это было сделано в [5].

Для этого интервал  $0 \leq \tau \leq T$  изменения переменной  $\tau$  разобьем на  $N_0$  частей  $N_0+1$  опорной точкой, в каждой из которых вычислим правые части системы и ядра. Значения решения в первой опорной точке примем равными значениям правых частей в этой же точке. Значения решения в остальных точках определим последовательным решением линейных алгебраических уравнений, которые получаются в результате аппроксимации интегралов в левой части системы (2.3) квадратурными формулами трапеций (если опорных точек две) и Симпсона – три восьмых (если опорных точек больше двух).

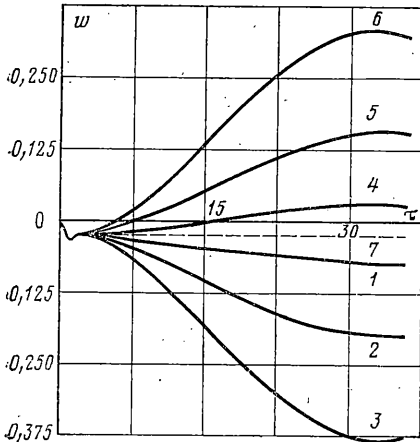
Значения функций  $w_n^{sc}$ ,  $v_n^{ss}$  определялись численным интегрированием решения  $w_n^{sc}$ ,  $v_n^{ss}$  системы уравнений (2.3) с учетом нулевых начальных условий. Величины  $w_n^{sc}$ ,  $v_n^{ss}$  находились аналогично интегрированием  $w_n^{sc}$  и  $v_n^{ss}$ .

Устойчивость решения системы (2.3) по отношению к величине шага интегрирования исследовалась численно. Количество уравнений в системе (2.3) выбиралось равным семи ( $N=3$ ).

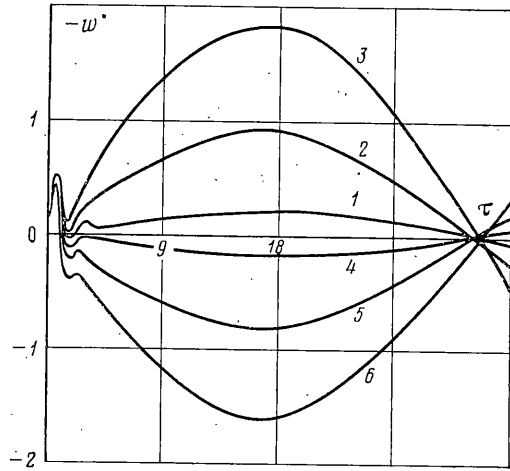
Численному решению системы (2.3) предшествовал расчет функций  $\xi_{2m,2n}^c(\xi_0, \tau)$  для эллиптического кольца с отношением полусосей  $b/a=1/2$  ( $\xi_0=0.5 \ln 3$ ) [7]. На фиг. 1 кривые 1–4 соответствуют функциям  $\xi_{2m,2n}^c(\xi_0, \tau)$  при  $m=0, 1, 2, 3$ , а кривые 5–7 – функциям  $\xi_{2m+2,2n}^c(\xi_0, \tau)$  при  $m=0, 1, 2$ . Остальные функции  $\xi_{2m,2n}^c(\xi_0, \tau)$  с неравными нижними индексами имеют аналогичные периоды и амплитуды колебаний, поэтому на фиг. 1 не приводятся. Там же штриховыми линиями изображены функции  $\psi_{2m}(\tau)$  при тех же значениях  $m$  для кругового кольца, т. е. при  $b/a=1$ .

Анализ кривых, изображенных на фиг. 1, позволил предположить, что при приближенном расчете колебаний эллиптического кольца с отношением полусосей  $1/2 \leq b/a \leq 1$  можно принять  $\xi_{2m,2m}^c(\xi_*, \tau) \approx -\exp(-0.5\tau) J_0[\tau(4m^2-1/4)^{1/2}]$  и  $\xi_{2m,2n}^c(\xi_*, \tau) \approx 0$ , если  $m \neq n$ .

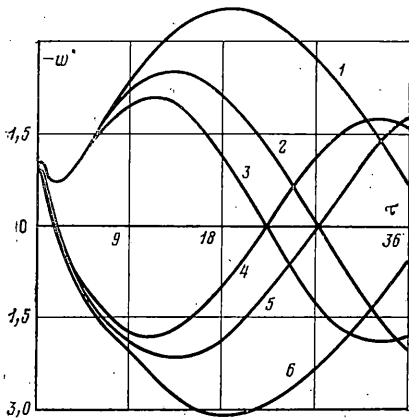
Расчеты выполнялись для эллиптических колец с параметрами  $1/2 \leq b/a \leq 1$ ,  $c_1 = -0.082$ ,  $2 \leq c_2 < 20$ ,  $K=1, 100, 200, 300$ . Характер деформации колец исследовался при внешней нагрузке, изменяющейся по закону  $\sigma_0(\tau)$ , параметр  $c_3=1; 10$ .



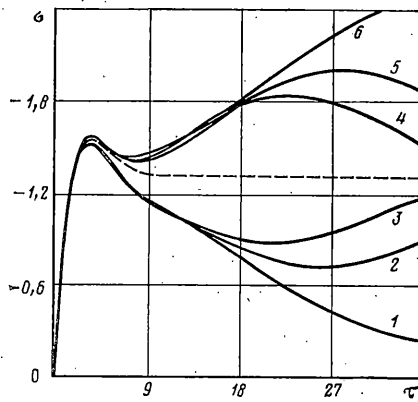
Фиг. 2



Фиг. 3



Фиг. 4



Фиг. 5

На фиг. 2 показано изменение во времени нормального прогиба  $w(\eta, \tau)$  эллиптического кольца с параметрами  $c_2=2,688$ ,  $\varepsilon=2,08 \cdot 10^{-4}$ ,  $K=1$  и отношением полуосей  $b/a$ , равным 0,9985; 0,9950; 0,9900 (кривые 1–3 соответствуют точке  $\eta=90^\circ$ ; а кривые 4–6, при тех же отношениях полуосей  $b/a$ , – точке  $\eta=0$ ). Там же для сравнения (кривая 7) изображена функция  $w(\tau)$ , характеризующая деформацию кругового кольца при внешней нагрузке  $\sigma_0(\tau)$  и  $c_3=10$ .

Для эллиптического кольца с этими же параметрами  $c_2$ ,  $\varepsilon$ ,  $K$ , но другим отношением полуосей ( $b/a=0,99$ ; 0,95; 0,90) и  $c_3=1$  на фиг. 3 приводится изменение во времени нормальной проекции скорости  $w^*(\eta, \tau)$  (кривые 1–3 соответствуют точке  $\eta=90^\circ$ , а кривые 4–6 – точке  $\eta=0$ ).

Так как начальные этапы движения эллиптического и кругового колец практически совпадают и при  $\tau \approx 4$  процесс деформации кругового кольца можно считать завершившимся, то на фиг. 3 характер изменения  $w^*(\tau)$  для кругового кольца не изображен.

Анализ графиков, приведенных на фиг. 2, 3, показывает, что процесс деформации кругового и эллиптического колец, нагруженных одинаковым внешним давлением, качественно различен. Процесс деформации эллиптического кольца условно можно разбить на два этапа. Первый (короткий) обусловлен бегом в кольце волн сжатия, второй (длительный) – распространением изгибных волн, характеризующих изменение формы кольца.

На фиг. 4 показано, как влияет подкрепление оболочки шпангоутами на изменение величины нормальной скорости  $w^*(\eta, \tau)$ . Параметры оболочки были следующими:  $b/a=0,90$ ,  $c_2=16,129$ ,  $K=100$ , 200, 300 (кривые 1–3 соответствуют точке  $\eta=90^\circ$ , кривые 4–6 – точке  $\eta=0$ ). Видно, что наличие шпангоутов приводит к увеличению изгибной жесткости эллиптического кольца и уменьшению амплитуды и периода его изгибных колебаний. Аналогичное влияние оказывают шпангоуты и на характер изменения напряжений, возникающих в эллиптическом кольце при его деформации.

На фиг. 5 показано влияние жесткости шпангоута на величины суммарных (от сжатия и изгиба) напряжений на внутренней границе эллиптического кольца с

параметрами  $b/a=0,90$ ,  $c_2=16,129$ ,  $K=1, 100, 200$ ,  $c_3=1$  в точках  $\eta=90^\circ$  (кривые 1–3) и  $\eta=0$  (кривые 4–6). Величины суммарных напряжений отнесены к  $E/(1-\mu^2)$ . Там же для сравнения штрихом изображено изменение во времени напряжения в круговом кольце при его всестороннем обжатии внешним равномерным давлением.

Распространение результатов на произвольную нагрузку можно осуществить с помощью интеграла Диамеля.

#### ЛИТЕРАТУРА

1. Григорюк Э. И., Горшков А. Г. Нестационарная гидроупругость оболочек. Л.: Судостроение, 1974. 208 с.
2. Мнев Е. Н., Перцев А. К. Гидроупругость оболочек. Л.: Судостроение, 1970. 365 с.
3. Слепян Л. И., Яковлев Ю. С. Интегральные преобразования в нестационарных задачах механики. Л.: Судостроение, 1980. 343 с.
4. Кубенко В. Д. Нестационарное взаимодействие элементов конструкций со средой. Киев: Наук. думка, 1979. 183 с.
5. Huang H. An exact analysis of the transient interaction of acoustic plane waves with a cylindrical elastic shell.—Trans. ASME. Ser. E. J. Appl. Mech., 1970, v. 37, No. 4, p. 1091–1099.—Рус. перев.: Прикл. механика. Тр. Америк. о-ва инж.-механ., 1970, № 4, с. 188–196.
6. Новожилов В. В. Теория тонких оболочек. Л.: Судпромгиз, 1951. 344 с.
7. Карпенко В. В. Определение передаточных функций в задаче нестационарного взаимодействия с жидкостью упругой эллиптической оболочки.—Прикл. механика, 1983, т. 19, № 6, с. 70–74.
8. Мак-Лахлан Н. В. Теория и приложение функций Матье. М.: Изд-во иностр. лит., 1953. 476 с.
9. Верлань А. Ф., Сизиков В. С. Методы решения интегральных уравнений с программами для ЭВМ. Киев: Наук. думка, 1978. 291 с.

Ленинград

Поступила в редакцию  
15.IX.1985